

Extended デルタマッ プ法

目的：従来のデルタマップでは想定する前景モデルのパラメータ数によって制限されていたが、この拡張デルタマップ法では、より多くの周波数マップを使用できるように、ベイズ的な方法でパラメトリック尤度を構築することで改善する

デルタマップ法：

視線 \hat{n} において、CMBの直線偏光を熱力学的温度で観測される直行するQ、Uで分解する。

$$\vec{s} = (Q(\hat{n}_1), \dots, Q(\hat{n}_{N_{\text{pix}}}), U(\hat{n}_1), \dots, U(\hat{n}_{N_{\text{pix}}}))^\text{T},$$

CMB信号：

$$\vec{s}_{\text{CMB}}(\nu) = \vec{s}_{\text{CMB}}.$$

前景放射：空間変動N個のパラメータ \vec{p}^I ($I = 1, 2, \dots, N$), 周波数空間で変化

$$\vec{s}_f(\nu) = g_\nu \mathbf{D}_\nu(\vec{p}^I) \vec{s}_b,$$

冪乗シンクロトロン $D_\nu^s(\beta_s(\hat{n})) = \left(\frac{\nu}{\nu_{s*}}\right)^{\beta_s(\hat{n})},$

1成分ダストMBB $D_\nu^d(T_d(\hat{n}), \beta_d(\hat{n})) = \left(\frac{\nu}{\nu_{d*}}\right)^{\beta_d(\hat{n})+1} \frac{e^{x_{d*}(\hat{n})} - 1}{e^{x_d(\hat{n})} - 1},$

輝度温度からCMB熱力学温度への変換

$$g_\nu \equiv \frac{(e^x - 1)^2}{e^x x^2} \text{ with } x \equiv \frac{h\nu}{k_B T_{\text{CMB}}}.$$

β dスペクトル指数

\mathbf{D}_ν は周波数依存性

Sb：輝度温度単位のピボット周波数における信号ベクトル

1 次 の 摂 動 を 考 慮 $p^I(\hat{n}) = \bar{p}^I + \delta p^I(\hat{n}),$

前 景 放 射 : テ イ ラ ー 展 開

$$g_\nu \mathbf{D}_\nu(\vec{p}^I) \vec{s}_b = g_\nu D_\nu(\vec{p}^I) \mathbf{I} \vec{s}_b + g_\nu \sum_{I=1}^N D_{\nu,p^I}(\vec{p}^I) \mathbf{I} (\delta \vec{p}^I \circ \vec{s}_b) + \mathcal{O}(\delta \vec{p}^{I^2}) \ ,$$

ダ ス ト と シ ン ク ロ ト ロ ン

$$\begin{aligned} g_\nu \mathbf{D}_\nu(\vec{p}^I) \vec{s}_f &= g_\nu D_\nu^d(\vec{p}^I) \mathbf{I} \vec{s}_d + g_\nu \sum_{I=1}^{N_d} D_{\nu,p_d^I}^d(\vec{p}^I) \mathbf{I} (\delta \vec{p}_d^I \circ \vec{s}_d) + \mathcal{O}(\delta \vec{p}_d^{I^2}) \\ &\quad + g_\nu D_\nu^s(\vec{p}^I) \mathbf{I} \vec{s}_s + g_\nu \sum_{I=1}^{N_s} D_{\nu,p_s^I}^s(\vec{p}^I) \mathbf{I} (\delta \vec{p}_s^I \circ \vec{s}_s) + \mathcal{O}(\delta \vec{p}_s^{I^2}) \\ &= \tilde{\mathbf{D}}_\nu \vec{\tilde{s}}_f, \end{aligned}$$

$$\tilde{\mathbf{D}}_\nu = \left(g_\nu D_\nu^d(\vec{p}_d^I) \mathbf{I} \quad g_\nu D_{\nu,p_d^1}^d(\vec{p}_d^1) \mathbf{I} \quad \cdots \quad g_\nu D_{\nu,p_d^{N_d}}^d(\vec{p}_d^{N_d}) \mathbf{I} \quad g_\nu D_\nu^s(\vec{p}_s^I) \mathbf{I} \quad g_\nu D_{\nu,p_s^1}^s(\vec{p}_s^1) \mathbf{I} \quad \cdots \quad g_\nu D_{\nu,p_s^{N_s}}^s(\vec{p}_s^{N_s}) \mathbf{I} \right)$$

前景放射信号ベクトル：

$$\vec{s}_f \equiv \begin{pmatrix} \vec{s}_d \\ \delta \vec{p}_d^1 \circ \vec{s}_d \\ \vdots \\ \delta \vec{p}_d^{N_d} \circ \vec{s}_d \\ \vec{s}_s \\ \delta \vec{p}_s^1 \circ \vec{s}_s \\ \vdots \\ \delta \vec{p}_s^{N_s} \circ \vec{s}_s \end{pmatrix}.$$

観測データ $\vec{m}(\nu) = \vec{s}_{\text{CMB}} + \tilde{\mathbf{D}}_\nu \vec{s}_f + \vec{s}_N(\nu)$

デルタマップ法の弱点

N_ν 個の周波数で空を観測

$$\vec{m} = \mathbf{D}^{\text{CMB}} \vec{s}_{\text{CMB}} + \tilde{\mathbf{D}} \vec{s}_f + \begin{pmatrix} \vec{s}_N(\nu_1) \\ \vdots \\ \vec{s}_N(\nu_{N_\nu}) \end{pmatrix},$$

重みの式

$$[1, \vec{\alpha}^\text{T}] \tilde{\mathbf{D}} = \mathbf{0}$$

この式を解くには $N_\nu = (N_d + 1) + (N_s + 1) + 1$
出なければならない、 N_ν をふやしても感度は上がらない

というか増やせない

クリーンマップ： $\vec{m}_{\text{CMB}} = \frac{\vec{m}_{\nu_{\text{CMB}}} + \sum_{i=\nu_2}^{\nu_{N_\nu}} \alpha_i \vec{m}_{\nu_i}}{1 + \sum_{i=\nu_2}^{\nu_{N_\nu}} \alpha_i},$

尤度：

$$-2 \ln \mathcal{L} = \vec{m}_{\text{CMB}}^\text{T} \mathbf{C}^{-1} \vec{m}_{\text{CMB}} + \ln |2\pi \mathbf{C}|,$$

共分散行列：

尤度を最小化することで各パラメータが決まる

$$\mathbf{C} = r \times \mathbf{C}^{\text{tens}} + \mathbf{C}^{\text{scal}} + \frac{\mathbf{N}_{\nu_{\text{CMB}}} + \sum_{i=\nu_2}^{\nu_{N_\nu}} \alpha_i^2 \mathbf{N}_{\nu_i}}{(1 + \sum_{i=\nu_2}^{\nu_{N_\nu}} \alpha_i)^2}.$$

$$\vec{m} \equiv \begin{pmatrix} \vec{m}(\nu_1) \\ \vdots \\ \vec{m}(\nu_{N_\nu}) \end{pmatrix},$$

$$\mathbf{D}^{\text{CMB}} \equiv \begin{pmatrix} \mathbf{I} \\ \vdots \\ \mathbf{I} \end{pmatrix} \quad \text{and} \quad \tilde{\mathbf{D}} \equiv \begin{pmatrix} \tilde{\mathbf{D}}_{\nu_1} \\ \vdots \\ \tilde{\mathbf{D}}_{\nu_{N_\nu}} \end{pmatrix}.$$

$$\vec{\alpha}^\text{T} = (\alpha_{\nu_2}, \dots, \alpha_{\nu_{N_\nu}})$$

の重みで前景除去

拡張デルタマップ法：式(11)から始める。観測されたマップ \vec{m} からCMBと前景の項を差し引くことで、データの尤度を次のように構成することができる

$$\vec{m} = \mathbf{D}^{\text{CMB}} \vec{s}_{\text{CMB}} + \tilde{\mathbf{D}} \vec{s}_f + \begin{pmatrix} \vec{s}_N(\nu_1) \\ \vdots \\ \vec{s}_N(\nu_{N_\nu}) \end{pmatrix},$$

モデル・シミュレーション：

シンクロトロン：power-law synchrotron model, "s1",

ダスト：one-component modified black-body (MBB) model, "d1"(1成分)

or

the two-component MBB model, "d4"(2成分)

宇宙論的なCMBマップ： "TT,TE,EE+lowE+lensing" CAMB $\xrightarrow{\text{パワースペクトル}}$ HEALPixのsynfast \rightarrow マップ

* テンソルスカラー比 r の値によって
マップを作成

plank

$$\Omega_b h^2 = 0.02237, \Omega_c h^2 = 0.1200, h = 0.6736, \tau = 0.0544, n_s = 0.9649.$$

$$A_s = 2.100 \times 10^{-9},$$

周波数帯や角度分解能などの実験パラメータ \rightarrow LiteBIRDと同等のもの (入力ノイズ：ホワイトノイズ)

デルタマップ法は、前景の空間変動の1次まで近似しているので、非常に明るい銀河面をマスク

\downarrow
「P06マスク」 ($\text{fsky} = 0.56$)

結果：

状況：シンクロtron放射のみ

CMB+シンクロtron放射

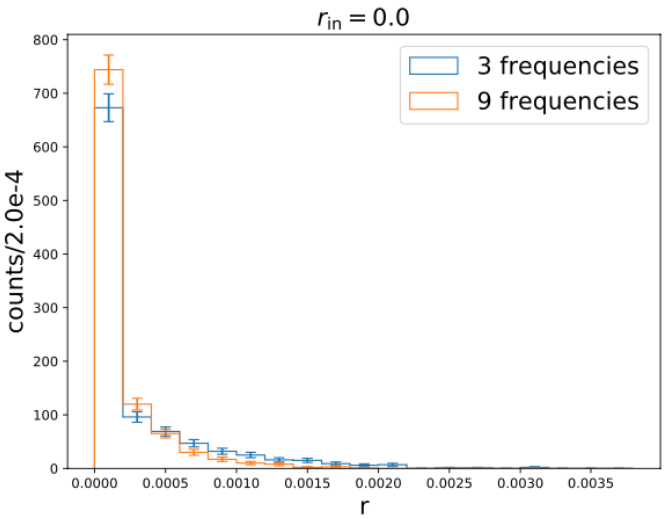
(1000回のシミュレーション)

3 frequencies (40, 60, 140) GHz

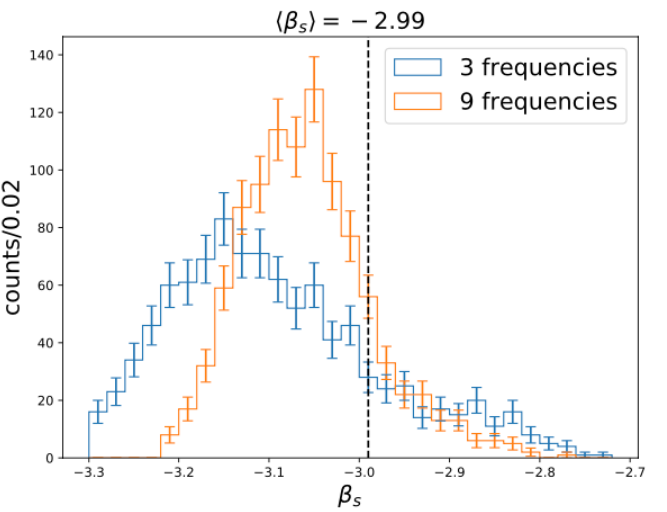
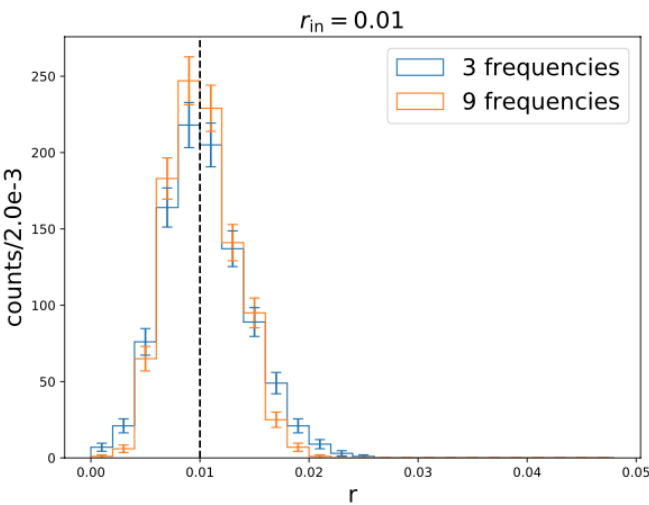
9 frequencies. (40, 50, 60, 68, 78, 89, 100, 119, 140) GHz,

- 結果を見ると、周波数バンドを増やした9 frequenciesの方が r, β の推定値がよく再現されている。

$r_{out} < 0.12 \times 10^{-2}$



$r_{out} < 0.07 \times 10^{-2}$



状況：熱ダスト放射（1成分MBB）のみ CMB+熱ダスト放射

パラメータ：
テンソル-スカラー比 r
前景パラメータで T_d 、 β_d

4 frequencies (140, 235, 280, 402) GHz

9 frequencies. (100, 119, 140, 166, 195, 235, 280, 337, 402) GHz,

- 4 frequenciesでは r の推定に不確定性が現れている
- 9 frequenciesでは周波数を増やしたことによりパラメータの推定値がより良く決定できていることが確認できる

前景パラメータの推定が正確にできていないことから R の推定に大きな誤差を生む

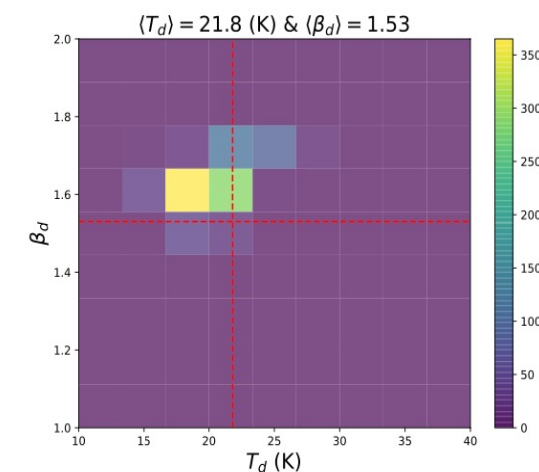
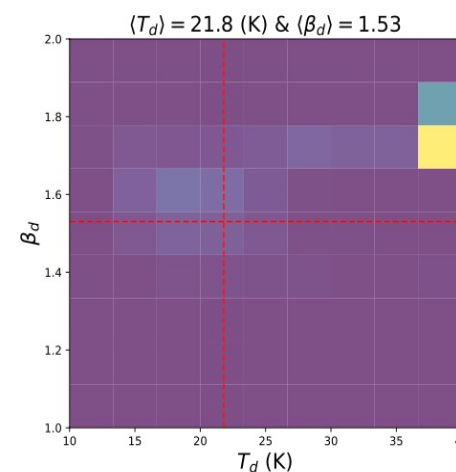
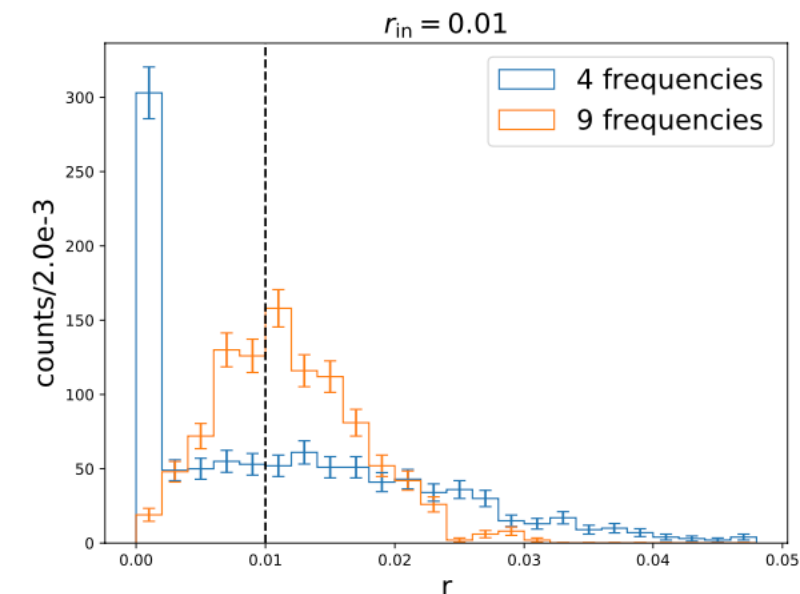


Fig. 4 2D histograms of estimated dust parameters, β_d vs T_d with four bands (left) and nine bands (right).

パラメータ：

テンソル-スカラー比r
前景パラメータTd, βd, βs

Frequencies

(40,50,60,68,78,89,100,119,140,166,195,235,280,337,402,600) GHz

Tdの推定には周波数が足りないことから

$T_d = 21.8 \pm 1\sigma \text{ K}$
 $\pm 1.0 \times 10^{-5} \sigma \text{ K},$

Tdに制約を課した

Tdの制約が強いほど、rの推定が良くなっているが、nullのr推定ではわずかに右に偏る結果となった。（右上図）

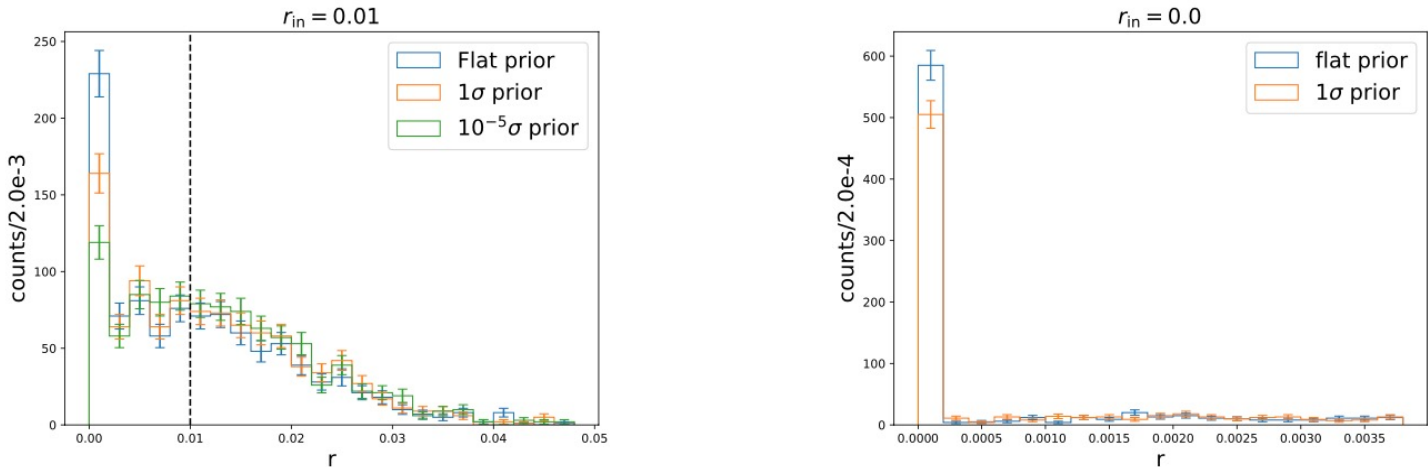


Fig. 5 Histograms of estimated r_{out} from 1000 samples. (Left) r_{out} histograms for input $r_{in} = 0.01$. Blue, orange, and green histograms show the estimated r_{out} with flat, 1σ , and $10^{-5}\sigma$ priors on T_d , respectively. (Right) r_{out} histograms for input $r_{in} = 0.0$. Blue and orange histograms show the estimated r_{out} with flat and 1σ priors on T_d , respectively.

高周波数の修正を行った場合：

Frequencies 修正

337 → 500GHz、 402 → 600GHz

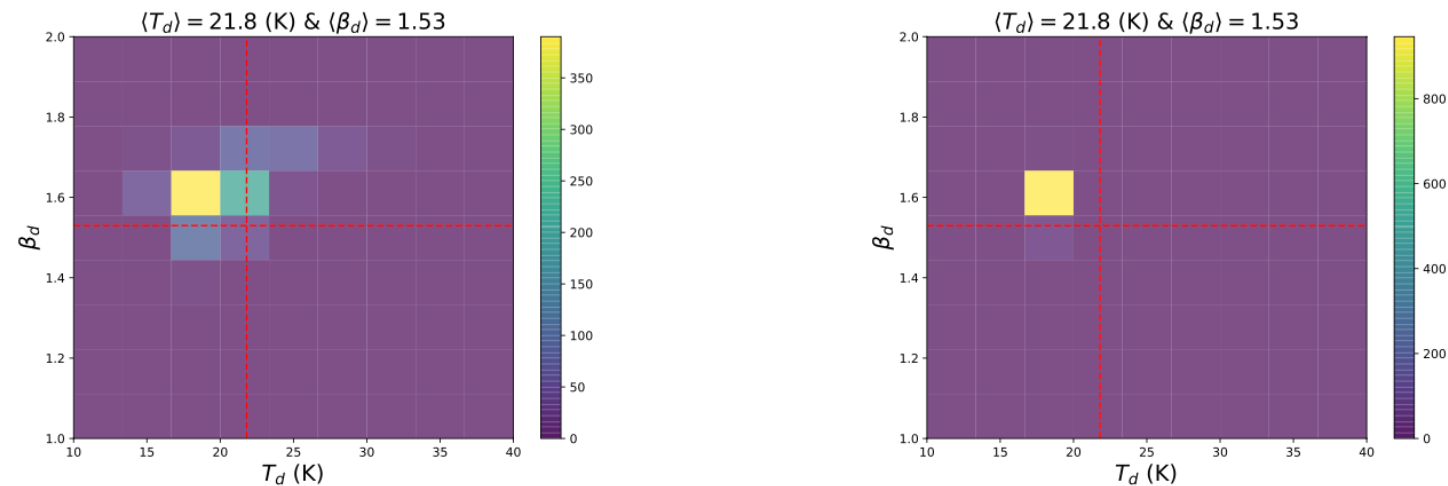


Fig. 6 2D histograms of T_d vs β_d with 15 normal bands (left) and 15 modified high-frequency bands (right).

平坦な事前分布を持つ $r_{in}=0.01$

1 σ 事前分布を持つ $r_{in}=0.01$

前ページの修正前の15周波数に比べ r の分布が右に偏っているが r の不確実性が非常に小さくなっている



CMBと前景の周波数を遠ざけると不確かさは小さくなるが系統的な偏りが大きくなる。

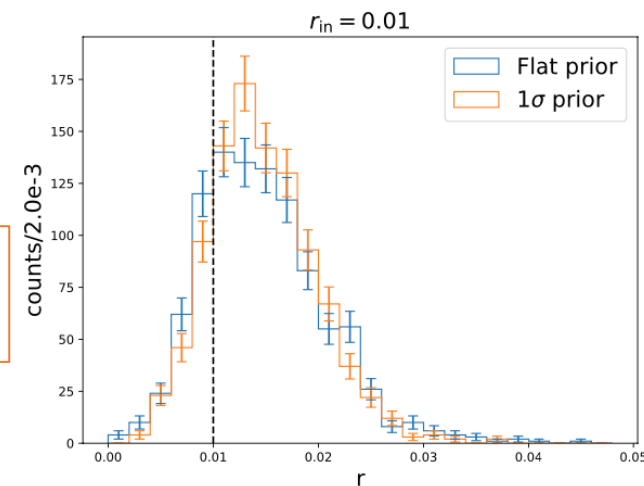


Fig. 7 Histograms of r_{out} from 1000 realizations for a flat prior and a 1 σ prior on T_d . The input $r_{in} = 0.01$ and dust model is 1MBB. The modified high-frequency model is used.

誤った前景をモデル化した場合：

モデル化 2 成分MBBダスト

推定 1 成分MBBダスト

この状態でパラメータを推定する

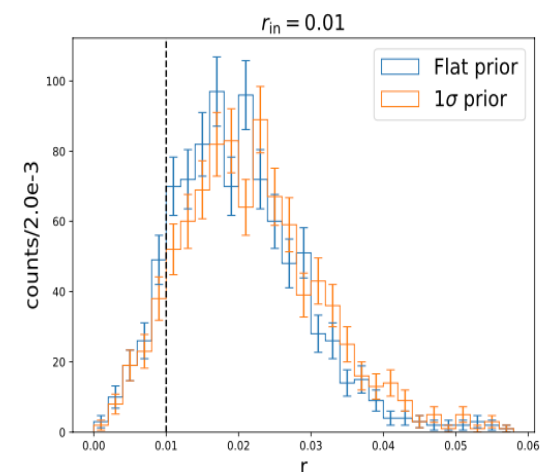


Fig. 8 Histograms of r_{out} from 1000 realizations. The input $r_{\text{in}} = 0.01$ and dust model is 2MBB.

r の推定値に約0.01のバイアスがある

周波数バンドの数が多いほどバイアスも大きくなる

前景放射のパラメータの決定が周波数の数に依存するから

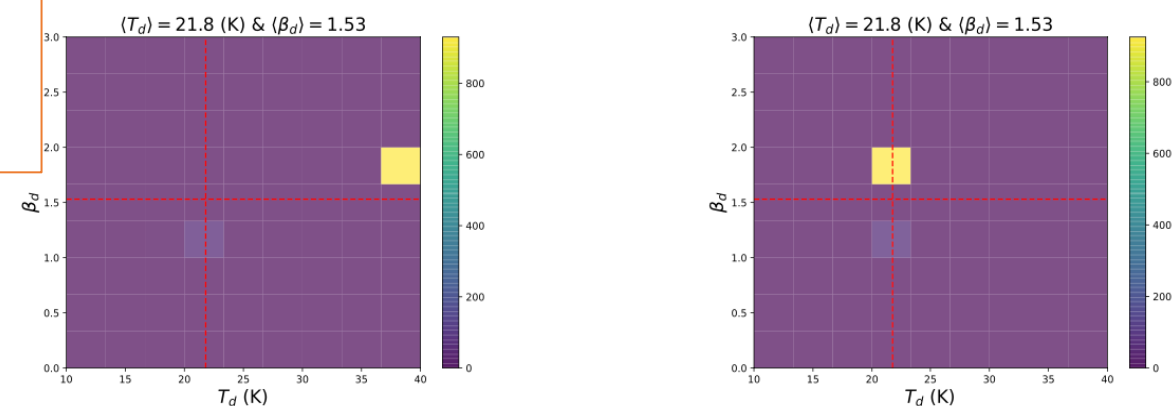


Fig. 9 2D histograms of estimated T_d and β_d in the case of mismodeling with flat (left) and 1σ (right) priors on T_d .

まとめ：

シンクロトロンとダストの2つの前景成分モデル

ダストの前景パラメータ β_d と T_d の決定が困難

シンクロトロンとダストの前景放射の相互作用

β_d と T_d を同時に決定するためには、広い周波数帯域のダストスペクトルを観測する必要

前景2成分モデルでは、放射光が低周波側を支配し、ダスト成分を隠す

ダストの前景パラメータの推定に使える観測周波数帯が事実上減少する

プランクの結果に基づき、ダスト温度に関する事前分布を課した



r の推定値の誤差は小さくなるが、推定値には小さな正のバイアスがかかる

周波数が高い修正バンド構成を用いた場合にも、正のバイアスが見られる



この方法における前景パラメータの摂動的な取り扱いが破綻しているため

内部テンプレート法では、CMBを同時に除去してしまうため、相対的にノイズが大きくなってしまうという欠点

(系統誤差と統計誤差の競合)

高次展開を考慮することで、前景信号パラメータとCMBパラメータの推定を改善できる可能性がある